



انتخاب طول زنجیره مقره های خطوط هوایی (محسن نیاستی)  
[WWW.Niasati.Semnan.Profile.ac.ir](http://WWW.Niasati.Semnan.Profile.ac.ir)



# انتخاب طول زنجیره مقره های خطوط هوایی

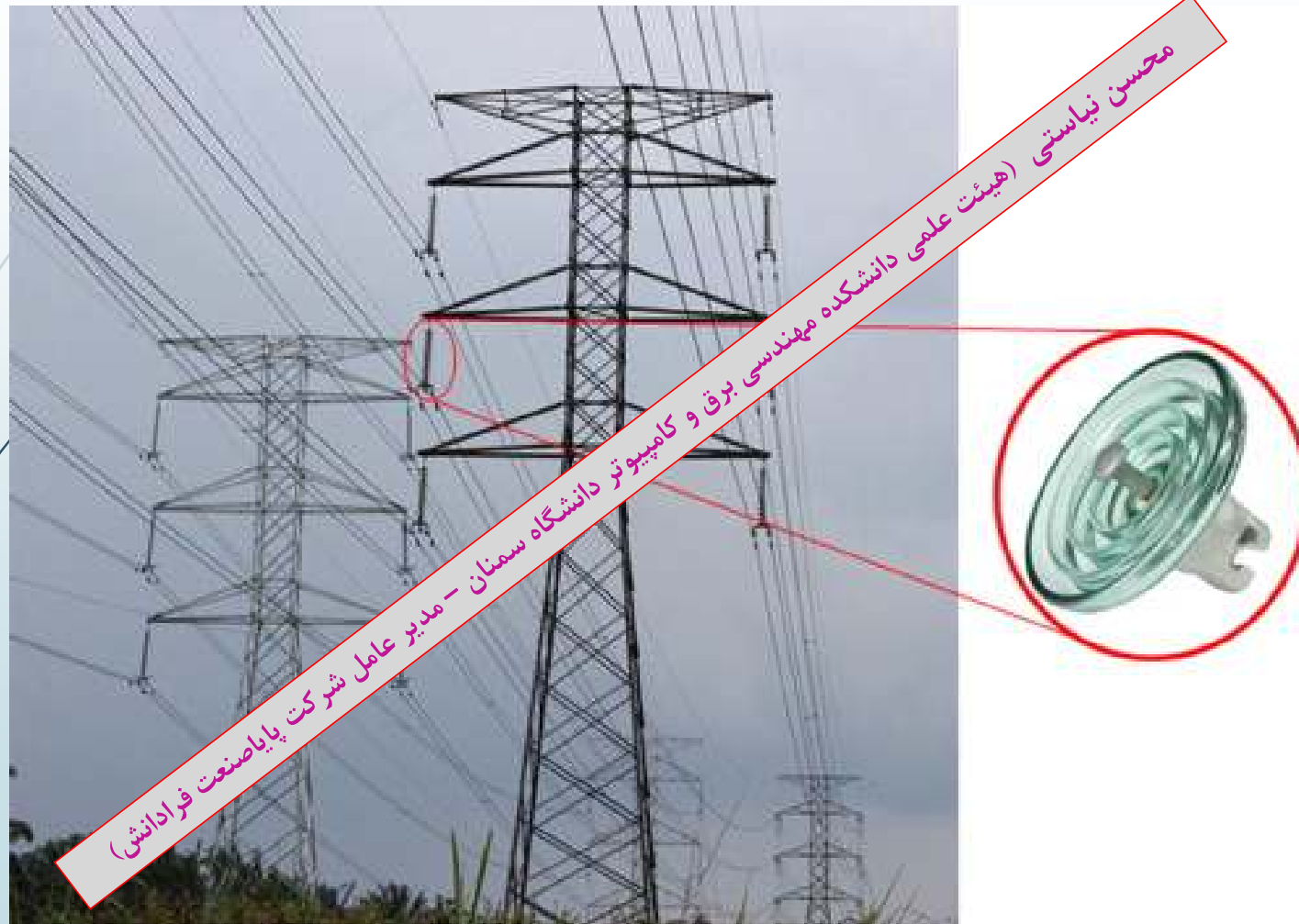
**ارائه دهنده: محسن نیاستی**

(هیئت علمی دانشکده مهندسی برق و کامپیوتر دانشگاه سمنان - مدیر عامل شرکت پایا صنعت فرادانش)

[WWW.Niasati.Semnan.Profile.ac.ir](http://WWW.Niasati.Semnan.Profile.ac.ir)



انتخاب طول زنجیره مقره های خطوط هوایی (محسن نیاستی)  
[WWW.Niasati.Semnan.Profile.ac.ir](http://WWW.Niasati.Semnan.Profile.ac.ir)

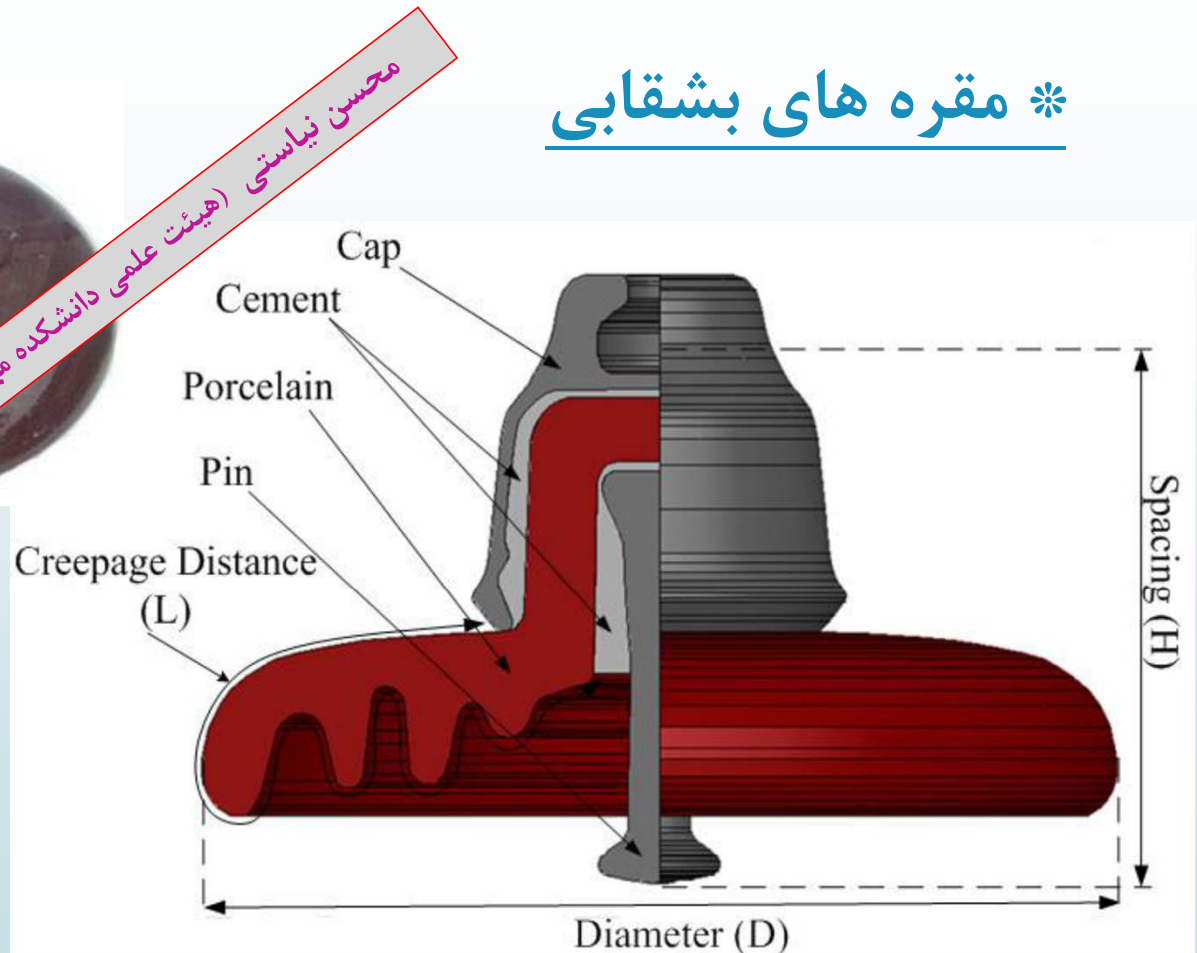


محسن نیاستی (هیئت علمی دانشکده مهندسی برق و کامپیوتر دانشگاه سمنان - مدیر عامل شرکت پایا صنعت فرداش)

## \* مقره های بشقابی



محسن نیاستی (هیئت علمی دانشکده مهندسی برق و کامپیوتر دانشگاه سمنان - مدیر عامل شرکت پایا صنعت فراداش)



Dimension parameters and material types of one of the simulated insulators



## \* مراحل انتخاب تعداد مقره های بشقابی زنجیره مقره:

- ۱- انتخاب نوع مقره (جنس، شکل) (هیئت علمی) دانشکده مهندسی برق و کامپیو
- ۲- تعیین تعداد مقره ها براساس سطح خرشیدی و مورد نیاز (اثر آلودگی)
- ۳- تعیین تعداد مقره ها براساس اضافه ولتاژ های گذرانی صاعقه و شرایط محیطی
- ۴- تعیین تعداد مقره ها براساس اضافه ولتاژ های گذرای کلیدزنی و شرط بندی محیطی
- ۵- انتخاب تعداد نهایی مقره های زنجیره مقره

محسن نیاستی  
دانشگاه سمنان  
پایا صنعت فرداش

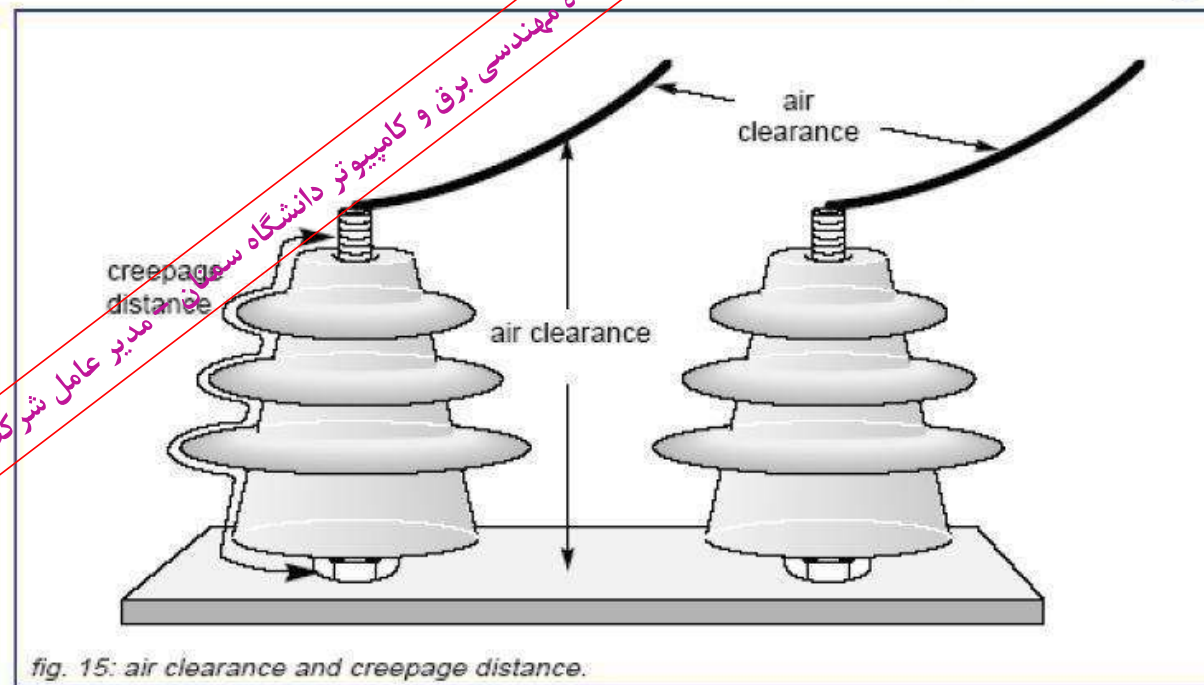
Creepage Distance

محسن نیاستی

➤ فاصله خزشی

Air Clearance

➤ فاصله هوایی





## \* انتخاب نوع مقره مناسب

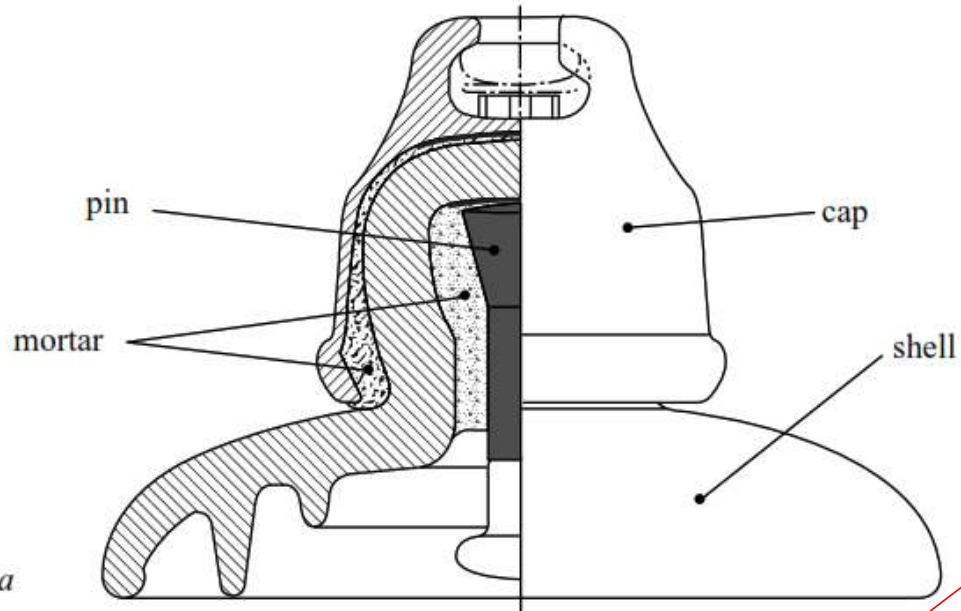
### الف - جنس مقره:

- \* سرامیکی،
- \* سرامیکی با لعاب نیمه هادی،
- \* شیشه ای،
- \* پلیمری،

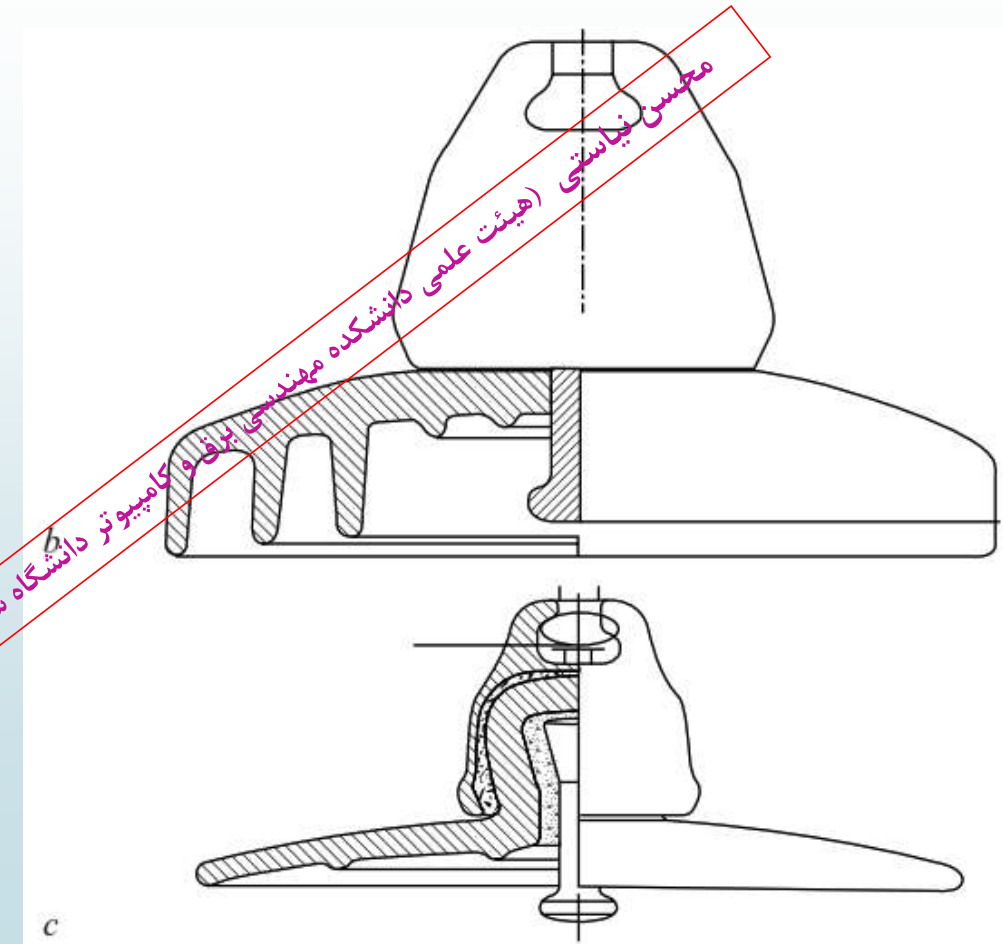
### ب - شکل مقره:

- \* معمولی،
- \* ضد مه،
- \* ضد آلودگی،
- \* آبرودینامیک

دانشگاه سمنان - مدیر عامل شرکت پالا صنعت فرآداشت  
محسن نیاستی (هیئت علمی دانشکده مهندسی برق و کامپیوٹر دانشگاه سمنان)



Typical examples of the profile of a cap and pin insulator  
*a* standard design  
*b* anti-fog design  
*c* aerodynamic design



## \* تعیین تعداد مقره ها براساس سطح آلودگی

مطابق استاندارد IEC ٦٠٨١٥ حداقل فاصله خزشی نامی مقره های سرامیکی یا شیشه ای بیرونی بین فاز و زمین، بین فاز و فاز و یا بین ترمینال های یک فاز کلید قدرت یا سیکسیونر:

$$L_t = a \times L_r \times V_r \times k_d$$

$L_t$ : حداقل فاصله خزشی نامی.

$a$ : ضریب کاربری<sup>۱</sup> براساس نوع عایق

$L_r$ : حداقل فاصله خزشی نامی مخصوص فاز به زمین

$V_r$ : حداقل ولتاژ موثر فاز به فاز سیستم.

$k_d$ : ضریب اصلاح مربوط به قطر عایق های پست مطابق استاندارد IEC ٦٠٨١٥

مقدمه ای در مورد مقره های سرامیکی  
دانشگاه سمنان - مدیر عامل شرکت پایا صنعت فردا نشی

## \* تعیین تعداد مقره ها براساس آلودگی

مقدار حداقل فاصله خزشی نامی براساس سطح آلودگی IEC ٦٠٨١٥

| نسبت فاصله خزشی<br>به فاصله هوایی | فاصله خزشی<br>فاز به زمین<br>(mm/kV) | فاصله خزشی<br>فاز به فاز (mm/kV) | سطح آلودگی |
|-----------------------------------|--------------------------------------|----------------------------------|------------|
| حداکثر ۳/۵                        | -                                    | ٢٢                               | خیلی سبک   |
|                                   | ٤                                    | ٢٨                               | سبک        |
|                                   | ٢٠                                   | ٣٥                               | متوسط      |
|                                   | ٢٥                                   | ٤٤                               | سنگین      |
|                                   | ٣١                                   | ٥٥                               | خیلی سنگین |

ضریب اصلاح قطر برای فاصله خزشی

| $k_d$ | قطر متوسط عایق پست ( $D_m$ )       |
|-------|------------------------------------|
| ۱     | $D_m < 300 \text{ mm}$             |
| ۱/۱   | $300 \leq D_m \leq 500 \text{ mm}$ |
| ۱/۲   | $D_m > 500 \text{ mm}$             |



دانشگاه علم و کاربرد دانشگاه همچنان - مدیر عامل شرکت پایا صفت فرازنش

## \* تعیین <sup>محسن نیاستی</sup> تعداد مقره ها براساس آلودگی

ضریب کاربری برای فاصله خزشی

| کاربرد عایق                       | ضریب کاربری ( $a$ ) |
|-----------------------------------|---------------------|
| بین فاز و زمین                    | ۱/۰                 |
| بین فازها                         | ۱/۷۳                |
| بین کنタکتهای باز یک کلید یا سوئیچ | ۱/۰                 |



مدیر عامل شرکت پایا صنعت فرادرانش  
دانشگاه علمی مهندسی برق و کامپیوتر سمنان

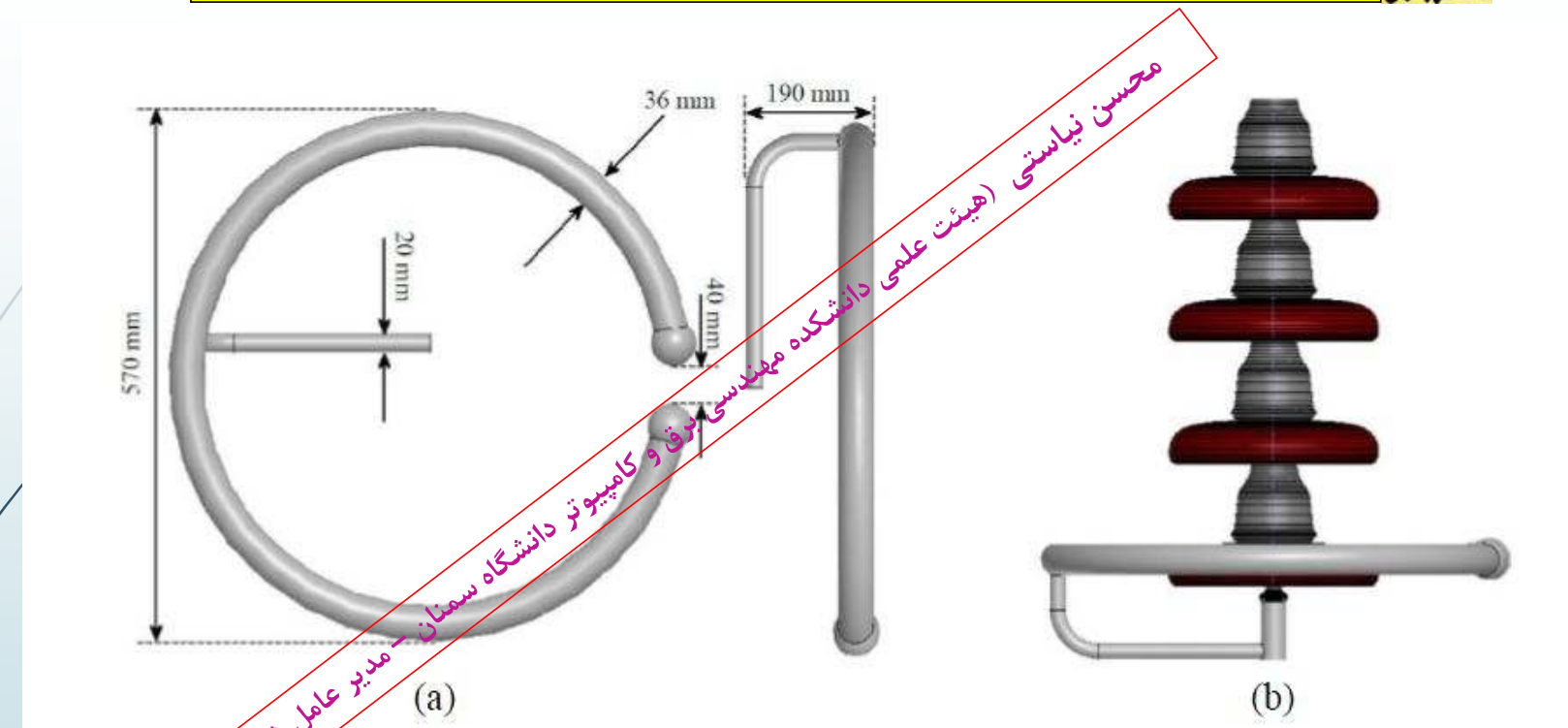


انتخاب طول زنجیره مقره های خطوط هوایی (محسن نیاستی)  
[WWW.Niasati.Semnan.Profile.ac.ir](http://WWW.Niasati.Semnan.Profile.ac.ir)



Table 1: Technical parameters of the simulated insulator

| No. | Type   | Material  | H (mm) | D (mm) | L (mm) | $F_{min}$ (kN) | Manufacturer       |
|-----|--------|-----------|--------|--------|--------|----------------|--------------------|
| A   | 0207   | Porcelain | 146    | 255    | 295    | 120            | Iran Insulator Co. |
| B   | 0215   | Porcelain | 146    | 255    | 440    | 120            | Iran Insulator Co. |
| C   | 0206   | Porcelain | 170    | 280    | 370    | 160            | Iran Insulator Co. |
| D   | U120B  | Glass     | 146    | 255    | 320    | 120            | Pars Maghareh Co.  |
| E   | U120BP | Glass     | 146    | 280    | 442    | 120            | Pars Maghareh Co.  |
| F   | U160BL | Glass     | 170    | 280    | 370    | 160            | Pars Maghareh Co.  |



Corona Ring (a) profile and dimensions (b) installation configuration

The number of standard disks (254mm x 146mm) used  
in typical insulator strings for various system voltages

| Line-to-line voltage<br>(kV) | Standard 146 mm disks,<br>line-to-ground |
|------------------------------|--|
| 115                          | 7-9                                      |
| 138                          | 7-10                                     |
| 161                          | 10-12                                    |
| 230                          | 11-14                                    |
| 345                          | 15-18                                    |
| 500                          | 22-28                                    |
| 765                          | 30-37                                    |

### اثر شرایط محیطی بر استقامت عایقی:

$$CFO_A = (k_\delta)^m \times (k_H)^w \times CFO_S$$

$$BIL_A = (k_\delta)^m \times (k_H)^w \times BIL_S$$

$$BSL_A = (k_\delta)^m \times (k_H)^w \times BSL_S$$

\* مطابق استاندارد : ANSI (IEEE)

$$H_0 = 15 \text{ gr} / m^3 \quad P_0 = 760 \text{ mmHg} \quad T_0 = 25^{\circ}\text{C}$$

\* مطابق استاندارد : IEC

$$H_0 = 11 \text{ gr} / m^3 \quad P_0 = 760 \text{ mmHg} \quad T_0 = 20^{\circ}\text{C}$$

$$k_{\delta} = \frac{P}{P_0} \times \frac{273 + T_0}{273 + T}$$

$$\frac{P}{P_0} = 1 - 0.1A \quad A(km)$$

ضریب اصلاح چگالی هوا:

$$k_{\delta} = 0.997 - 0.106A \quad or \quad k_{\delta} = e^{-(A/8.6)}$$

ضریب اصلاح رطوبت هوا (تحت شرایط بارانی یا خیس مقدار آن یک می باشد):

| $k_H$   | بازه                              | نوع ولتاژ                  |
|---|-----------------------------------|----------------------------|
| $1 + 0.014(H/k_{\delta} - 11) - 0.00022(H/k_{\delta} - 11)^2$ | $1g/m^3 < H/k_{\delta} < 15g/m^3$ | DC                         |
| $1 + 0.012(H/k_{\delta} - 11)$                                | $1g/m^3 < H/k_{\delta} < 15g/m^3$ | AC                         |
| $1 + 0.010(H/k_{\delta} - 11)$                                | $1g/m^3 < H/k_{\delta} < 20g/m^3$ | صاعقه (LI)<br>کلیدزنی (SI) |

$P_0$ : مقدار استاندارد فشار هوا،

$P$ : فشار واقعی هوای محیط،

$T_0$ : دمای استاندارد (بر حسب سانتیگراد)،

$T$ : دمای محیط (بر حسب سانتیگراد)،

$H$ : رطوبت هوا (بر حسب گرم بر مترمکعب)،

مدیر عامل شرکت پایا صنعت فرآورانش  
دانشگاه علم و فناوری سمنان

$$G_0 = \frac{CFO_S}{500 \times S}$$

تعیین ضرایب  $m$  و  $w$

**CFOs**: مقدار استاندارد ولتاژ جرقه (بهرانی) (بر حسب کیلوولت)

**S**: فاصله برخورد ضربه یا فاصله هوایی (بر حسب متر)

| $G_0$             | $m$ | $w$ |
|-------------------|-----|-----|
| $G_0 < 0.2$       | 0   | 0   |
| $0.2 < G_0 < 1.0$ |     |     |
| $1.0 < G_0 < 1.2$ | 1   |     |
| $1.2 < G_0 < 2.0$ | 1   |     |
| $G_0 > 2.0$       | 1   | 0   |

دانشگاه سمنان - مدیریت عامل شرکت پایا صنعت فردا نش (بر حسب مهندسی برق و کامپیووتر)

## طراحی و انتخاب سطح عایقی:

الناسی - تحت ولتاژ گذراي صاعقه:

\* در این حالتی طراحی و انتخاب سطح عایقی برای شرایط بارانی یا خیس در نظر گرفته می شود:

$$H_c = 1$$

$$G_0 \simeq 1 \sim 1.2 \Rightarrow m = w = 1$$

بنابراین:

$$CFO_A = k_\delta \times CFO_S$$

$$BIL_A = k_\delta \times BIL_S$$

## طراحی و انتخاب سطح عایقی:

محسن نیاستی - تحت ولتاژ گذراي کلیدزنی:

\* در این (هیئت‌خواست طراحی و تست سطح عایقی برای شرایط بارانی یا خیس در نظر گرفته می‌شود):

$$H_c = 1$$
$$G_0 \simeq 0.2 \sim 1.0 \Rightarrow m = w = 1.25G_0(G_0 - 0.2)$$

بنابراین:

$$CFO_A = (k_\delta)^m \times CFO_S$$

$$BSL_A = (k_\delta)^m \times BSL_S$$

## محاسبه ولتاژ جرقه بحرانی (CFO) براساس استقامت عایقی صاعقه (BIL) و کلیدزنی (BSL)

$$BIL = CFO \times \left(1 - 1.28 \frac{\sigma_f}{CFO}\right)$$

$$BSL = CFO \times \left(1 - 1.28 \frac{\sigma_f}{CFO}\right)$$

\* مقدار انحراف معیار استاندارد ( $\frac{\sigma_f}{CFO}$ ):

برای مطالعات صاعقه (BIL): ٪ ۰.۲ تا ٪ ۰.۳

برای مطالعات کلیدزنی (BSL): ٪ ۰.۵ برای عایق خط و ٪ ۰.۷ برای عایق پست

BIL و BSL : به ازای وقوع جرقه با احتمال ۱۰% (برای شرایط سطح خیس)

CFO : به ازای وقوع جرقه با احتمال ۵۰%

## انتخاب طول فاصله هوایی عایق براساس اضافه ولتاژهای گذرای صاعقه

$$S_L(m) = \frac{CFO(kV) - 80}{550}$$

$$N_I = \frac{S_L + L_h}{L_i}$$

: مجموع طول شاخک برقگیر یا خلائقه کرونا در دو سر عایق  $L_h$

: ارتفاع موثر یا طول فاصله هوایی هر مقره مذکور باشندی  $L_i$

: تعداد مقره های زنجیره مقره  $N_I$

محسن نیاستی (هیئت علمی دانشکده مهندسی برق و کامپیوتر دانشگاه شهرستان)

## انتخاب طول فاصله هوایی عایق براساس اضافه ولتاژهای گذرای کلیدزنی

$$S_s(m) = \frac{8}{\left(\frac{3400}{CFO}\right) - 1}$$

Or

$$S_s(m) = \frac{7.3}{\left(\frac{3830}{CFO}\right) - 1}$$

محسن نیاستی (هیئت علمی دانشکده مهندسی برق و کامپیوٹر دانشگاه سمنان - مدیر عامل شرکت پایا صنعت فرداش)

### Rated insulation levels according to IEC 61869-1

| Max.<br>System<br>voltage | Power frequency<br>withstand voltage |           | Lightning<br>impulse<br>withstand<br>voltage | Switching<br>impulse<br>withstand<br>voltage | RIV test<br>voltage | Max. RIV<br>level | PD test<br>voltage | Max. PD<br>level |
|---------------------------|--------------------------------------|-----------|--|--|---------------------|-------------------|--------------------|------------------|
|                           | Dry<br>KV                            | Wet<br>KV |  |  | KV                  | $\mu$ V           | KV                 | pC               |
| 36                        | 70                                   | 70        | 170  | -  | -                   | -                 | 43                 | 10               |
| 52                        | 95                                   | 95        | 250  | -  | -                   | -                 | 63                 | 10               |
| 72.5                      | 140                                  | 140       | 325  | -  | -                   | -                 | 86                 | 10               |
| 123                       | 230                                  | 230       | 550  | -  | 78                  | 250               | 148                | 10               |
| 145                       | 275                                  | 275       | 650  | -  | 92                  | 250               | 174                | 10               |
| 170                       | 325                                  | 325       | 750  | -  | 108                 | 250               | 204                | 10               |
| 245                       | 460                                  | 460       | 1050   | -  | 156                 | 250               | 276                | 10               |
| 300                       | 460                                  | -         | 1050   | 850  | 191                 | 250               | 360                | 10               |
| 362                       | 510                                  | -         | 1175   | 950  | 230                 | 2500              | 434                | 10               |
| 420                       | 630                                  | -         | 1425   | 1050   | 267                 | 2500              | 420*               | 10               |
| 550                       | 680                                  | -         | 1550   | 1175   | 334                 | 2500              | 550*               | 10               |
| 800                       | 975                                  | -         | 2100   | 1550   | 485                 | 2500              | 800*               | 10               |

Test voltages above apply at  $\leq 1000$  m above sea level. \*) Earthed neutral system

محسن نیاستی

(هیئت علمی دانشکده فنی و کامپیووتر دانشگاه سمنان - مدیر عامل شرکت پایا صنعت فرآورانش)

### Basic insulation levels according to IEEE C57.13 -2008

| Max.<br>System<br>voltage | Power frequency with-<br>stand voltage |     | Lightning<br>impulse<br>withstand<br>voltage | Chopped<br>wave test<br>voltage | RIV test<br>voltage | Max. RIV<br>level |
|---------------------------|--|-----|--|---------------------------------|---------------------|-------------------|
|                           | Dry                                    | Wet |  |                                 |                     |                   |
| KV                        | KV                                     | KV  | KV   | KV                              | KV                  | µV                |
| 36.5                      | 70                                     | 70  | 200  | 230                             | -                   | -                 |
| 48.3                      | 95                                     | 95  | 250  | 290                             | -                   | -                 |
| 72.5                      | 140                                    | 140 | 350  | 400                             | -                   | -                 |
| 123                       | 230                                    | 230 | 550  | 630                             | 78                  | 250               |
| 145                       | 275                                    | 275 | 650  | 750                             | 92                  | 250               |
| 170                       | 325                                    | 315 | 750  | 865                             | 108                 | 250               |
| 245                       | 460                                    | 445 | 1050   | 1210                            | 156                 | 250               |
| 362                       | 575                                    | -   | 1300   | 1500                            | 230                 | 2500              |
| 550                       | 800                                    | -   | 1800   | 2070                            | 334                 | 2500              |
| 800                       | 920                                    |     | 2050   | 2360                            | 485                 | 2500              |

Test voltages above apply at  $\leq 1000\text{m}$  above sea level.

محسن نیاستی (هیئت علمی دانشکده مهندسی برق و کامپیووتر دانشگاه سمنان - مرکز تحقیقات پژوهش و فناوری)